

FIG. 1

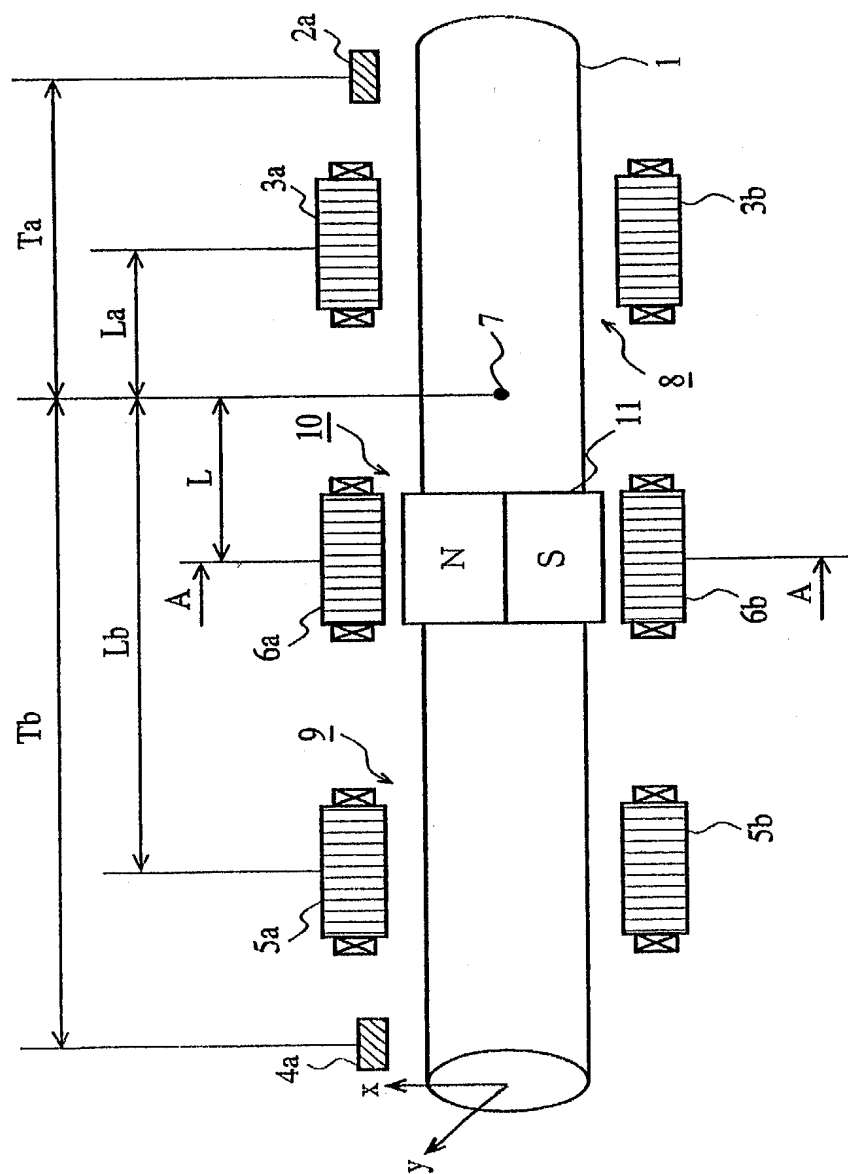


FIG. 2

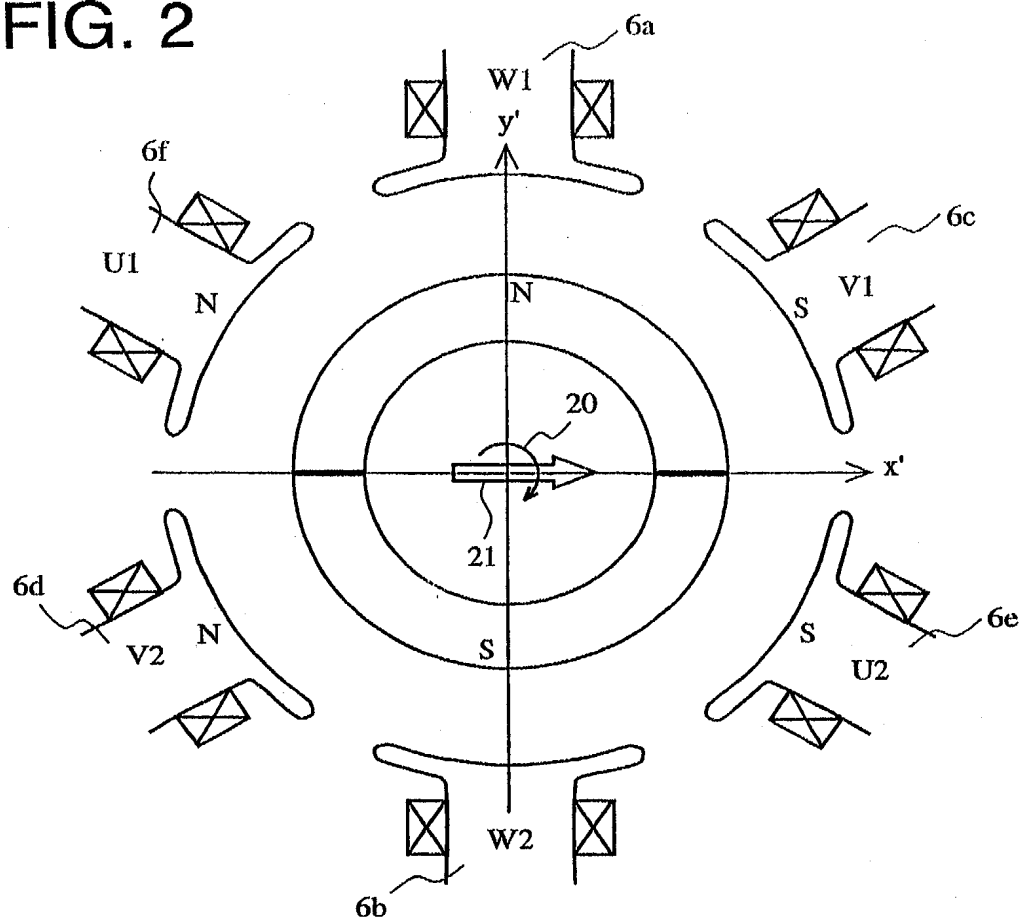


FIG. 3

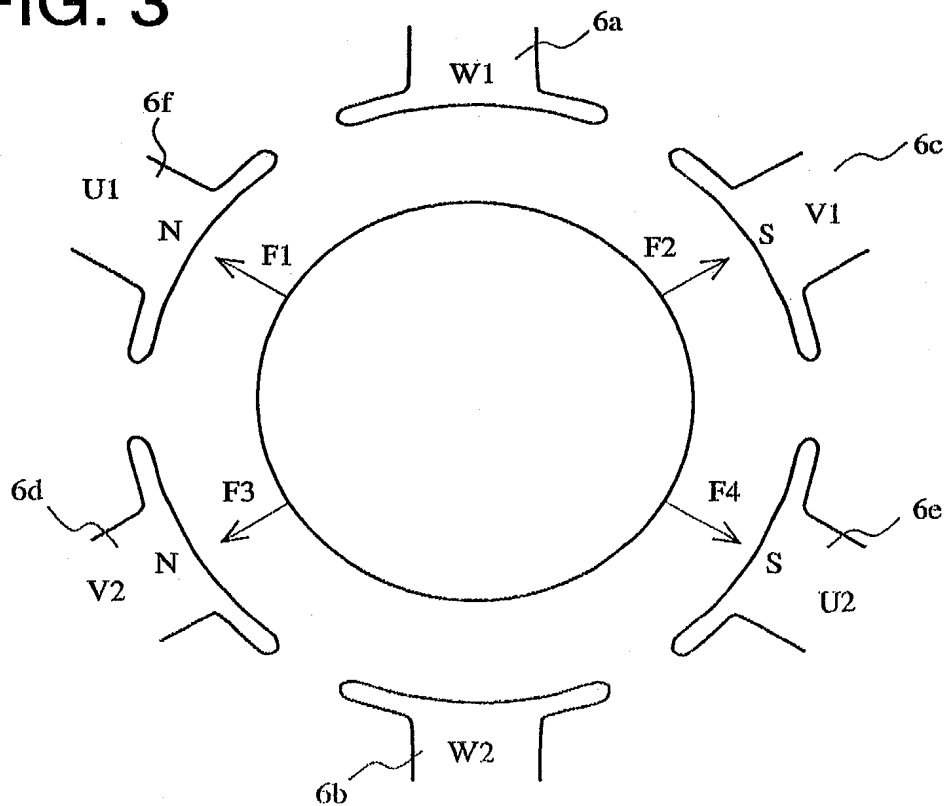


FIG. 4

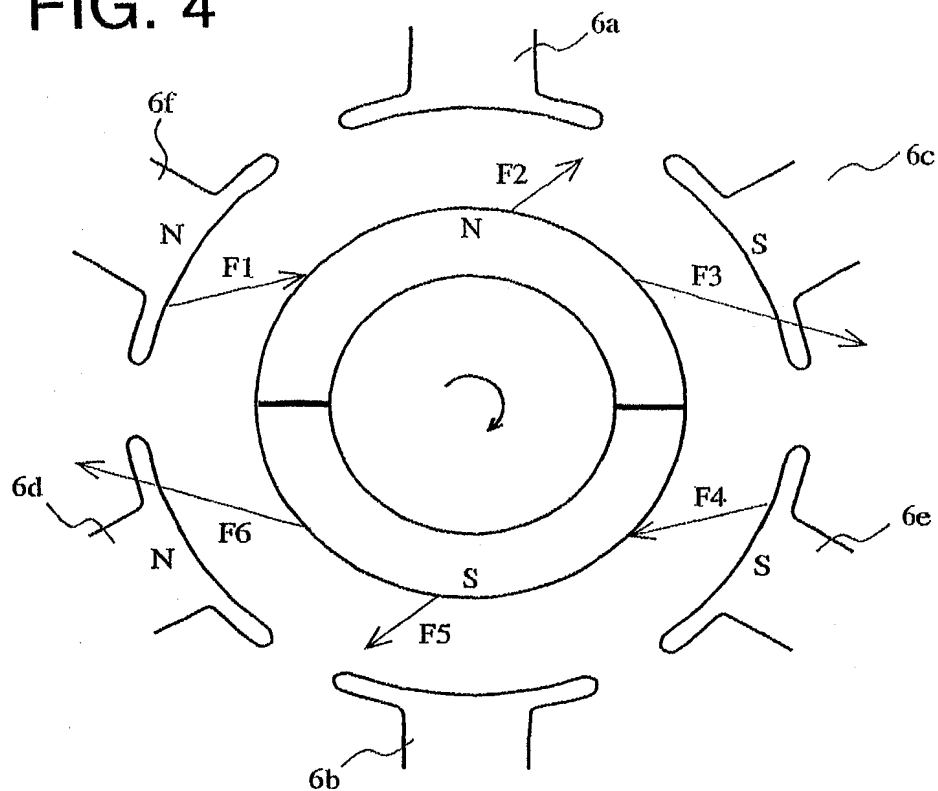


FIG. 5

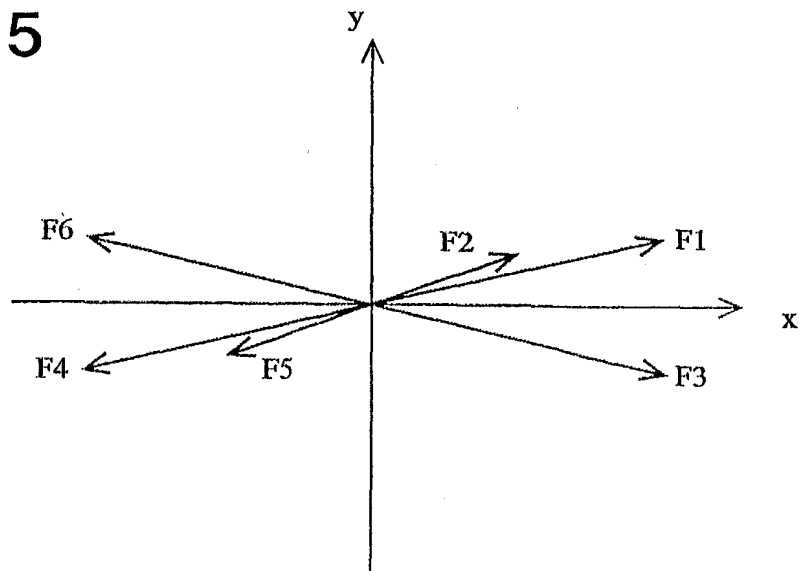


FIG. 6

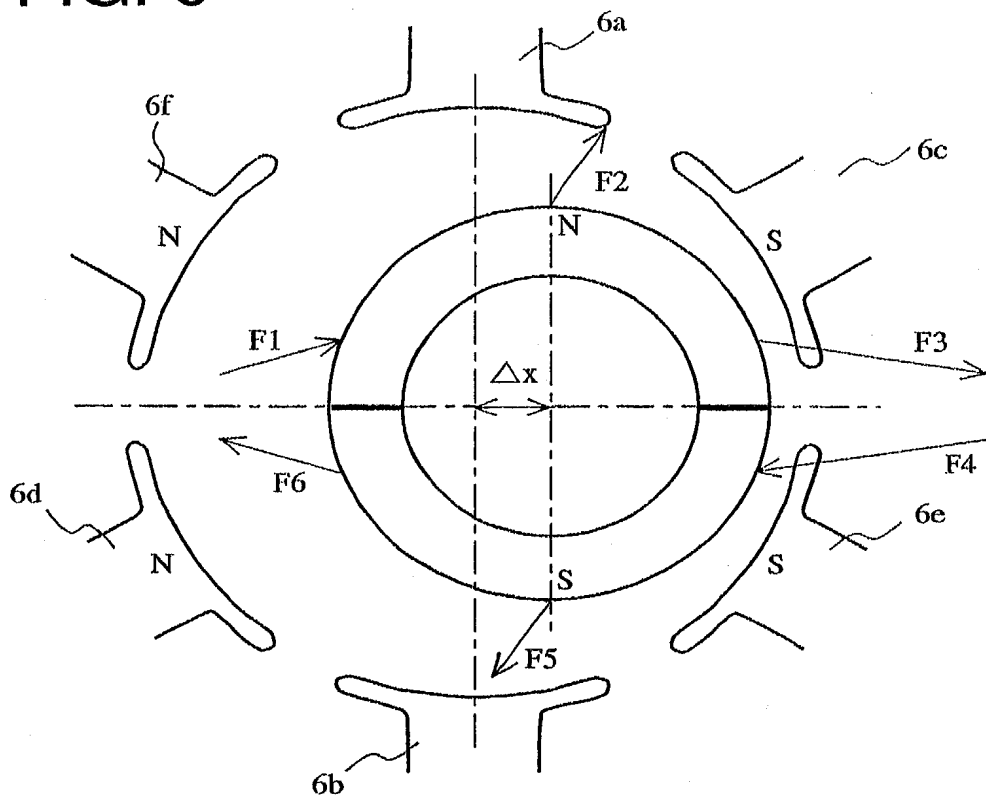


FIG. 7

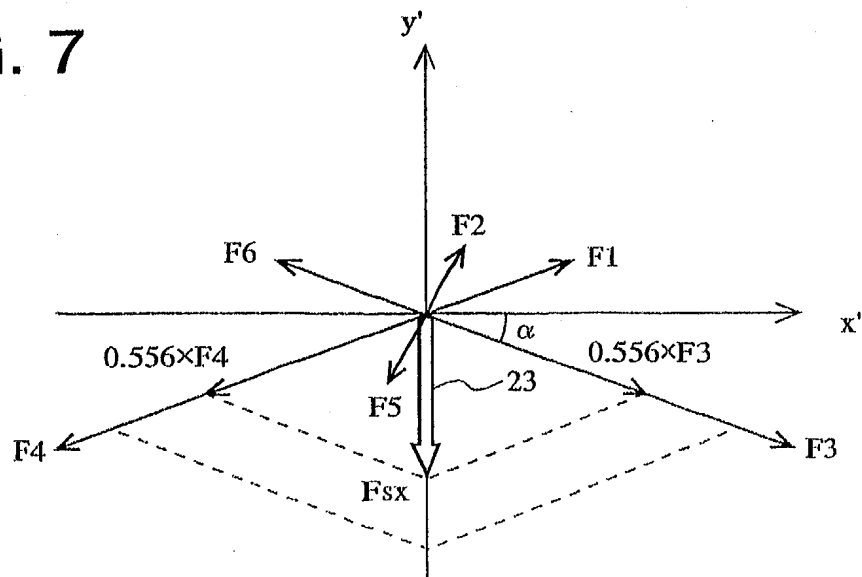


FIG. 8

PATTERNS	DIRECTION OF THE MAGNETIC FIELD GENERATED BY THE COIL 6	DECLINATION γ FROM THE MAXIMUM TORQUE POINT OF THE ROTOR 1	F _{sx}	F _{sy}
1	0°	0°	f1(Δx)	g1(Δy)
		20°	f2(Δx)	g2(Δy)
		40°	f3(Δx)	g3(Δy)
2	60°	0°	f1(Δx)	g1(Δy)
		20°	f2(Δx)	g2(Δy)
		40°	f3(Δx)	g3(Δy)
3	120°	0°	f1(Δx)	g1(Δy)
		20°	f2(Δx)	g2(Δy)
		40°	f3(Δx)	g3(Δy)
4	180°	0°	f1(Δx)	g1(Δy)
		20°	f2(Δx)	g2(Δy)
		40°	f3(Δx)	g3(Δy)
5	240°	0°	f1(Δx)	g1(Δy)
		20°	f2(Δx)	g2(Δy)
		40°	f3(Δx)	g3(Δy)
6	300°	0°	f1(Δx)	g1(Δy)
		20°	f2(Δx)	g2(Δy)
		40°	f3(Δx)	g3(Δy)

FIG. 9

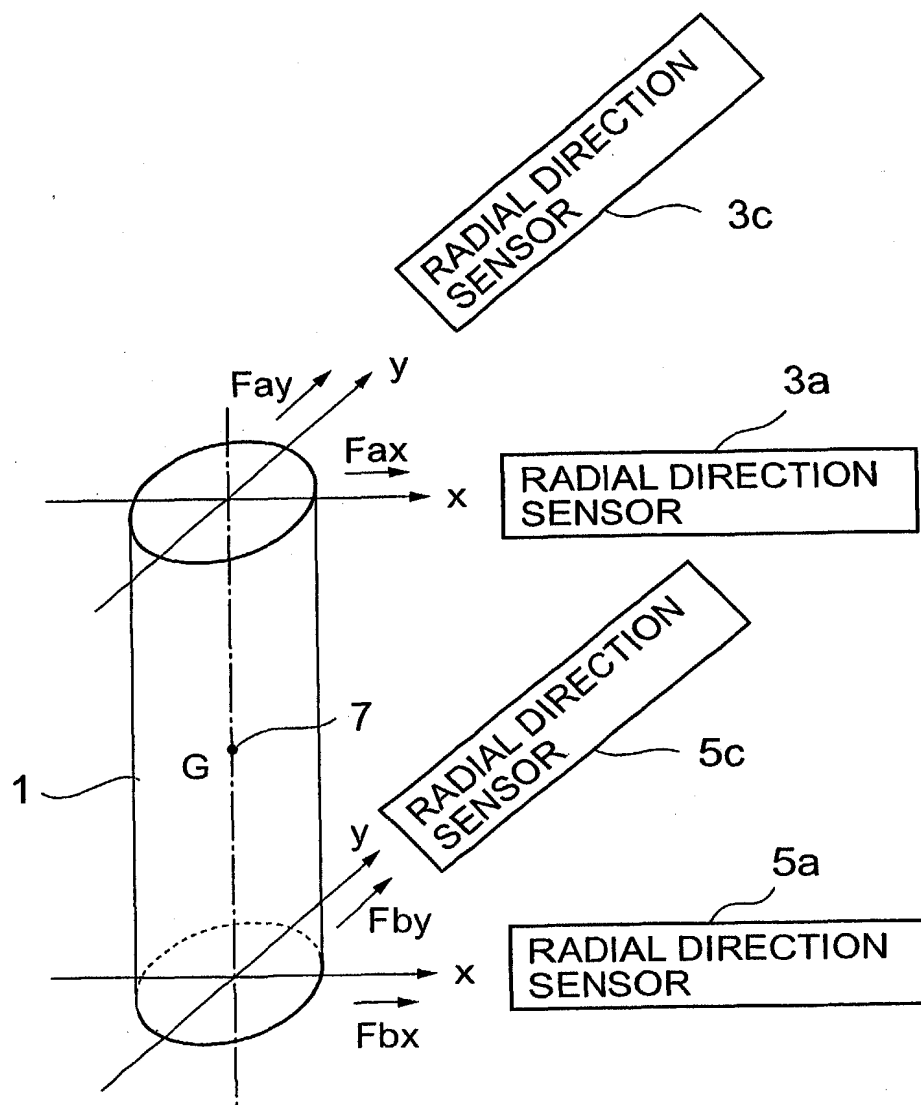


FIG. 10

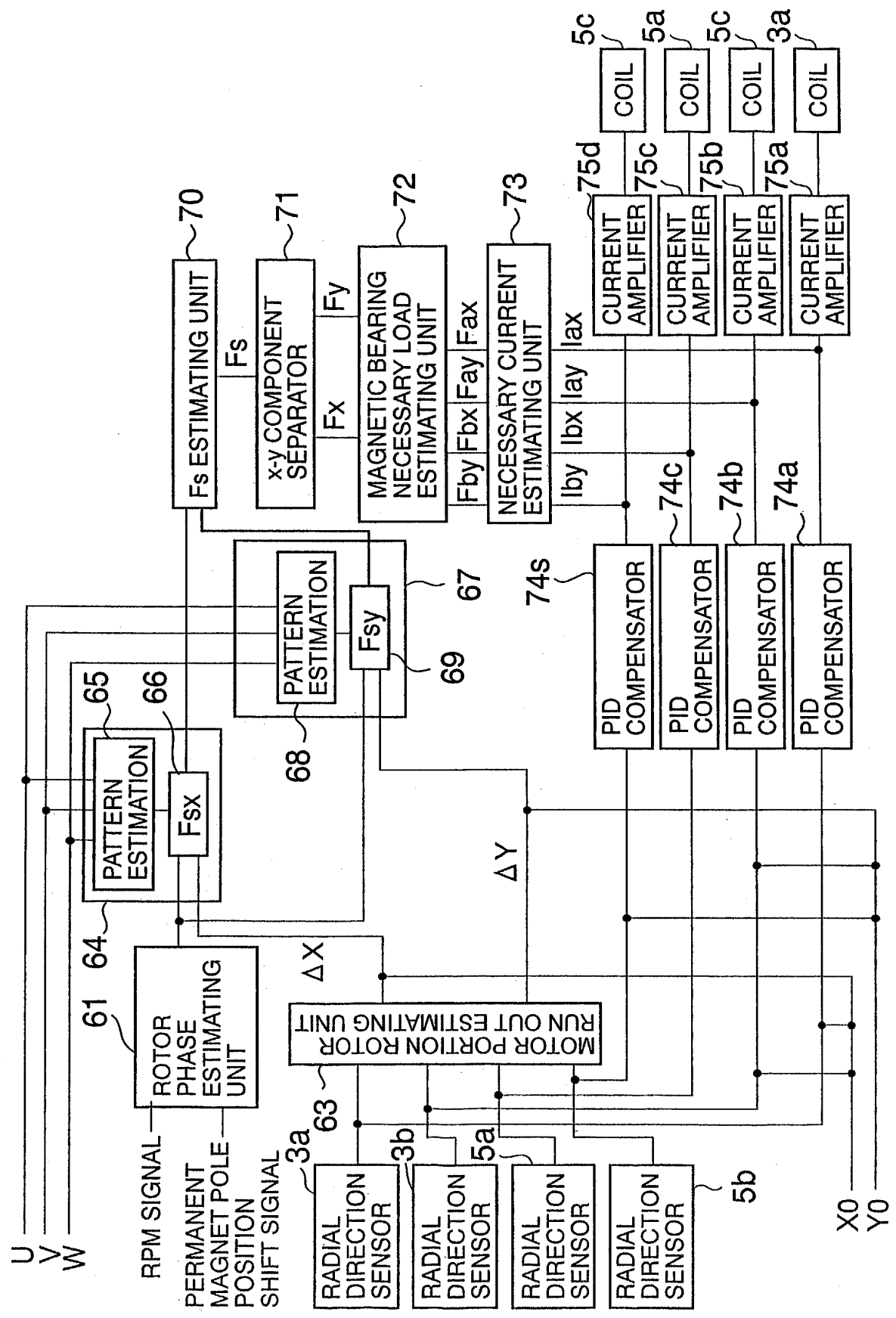
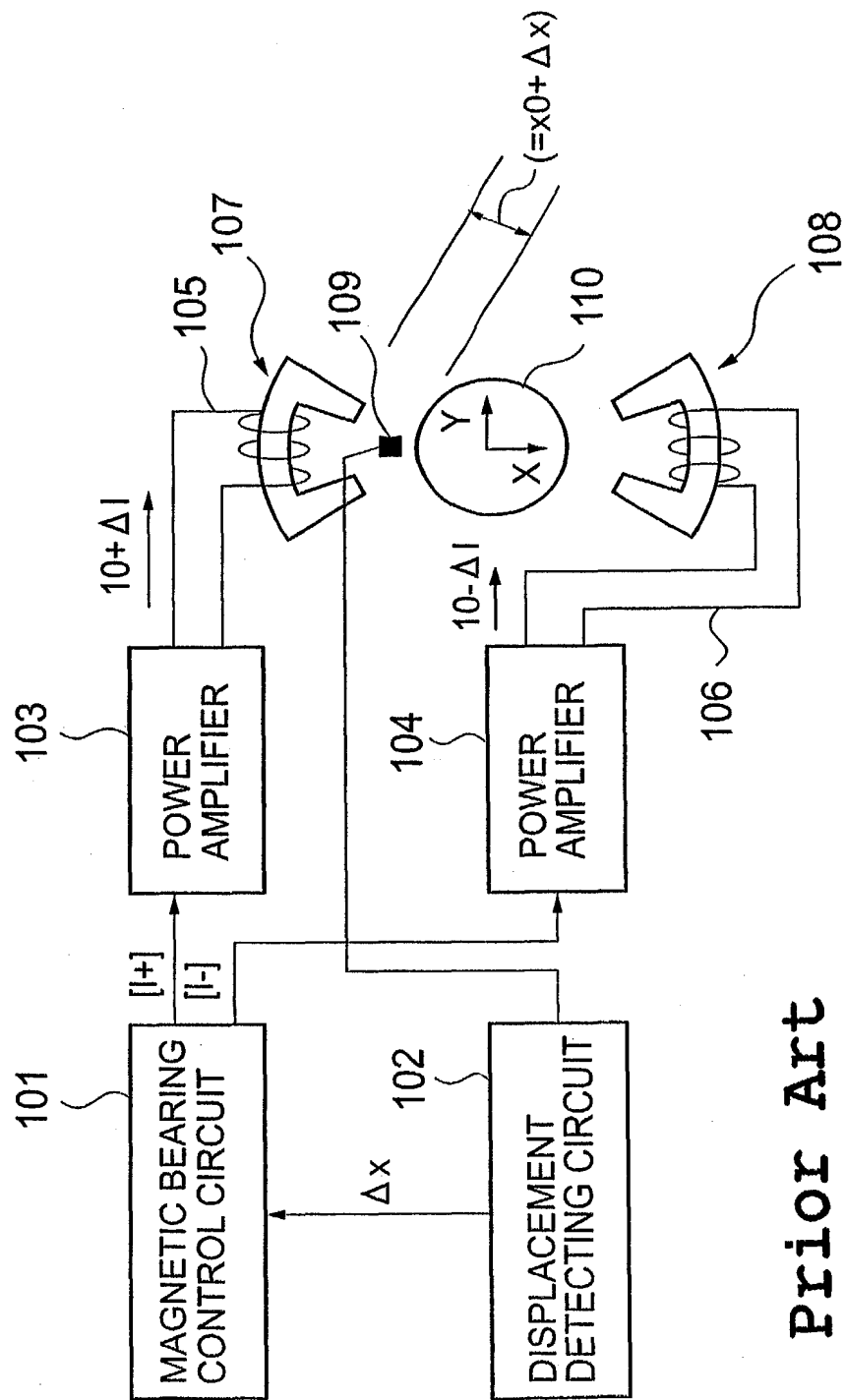


FIG. 11



Prior Art